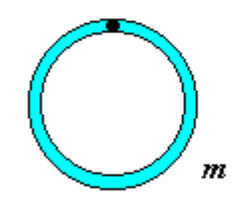
リング振り子

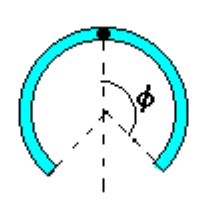
喜多方工業高校 高橋 善樹

3年前のYPC(横浜物理サークル)ニュースNo.114から拾ったテーマです。リングの1点を支点とした振り子は、リングの途中をカットしても等しい周期で振動するが、実験では完全には一致しなかった・・・との報告だけで、残念ながら、その解析や、その後の発展についてはみつけることができませんでした。「振動」にのめりこんだこの夏、また、ちょっとたのしめそうなテーマの発見でした。

1. リング振り子の運動方程式

支点から中心角 φ だけ残して切り欠いた リングについて考える。もとのリングの質量 をMとすれば、切り欠いたリングの質量は、







$$m:=\frac{\phi}{\pi}\cdot M$$

であり、またその重心は支点から、

$$\mathbf{l_G} := \left(1 - \frac{\sin(\phi)}{\phi}\right) \cdot \mathbf{a}$$
 (aはリングの半径) ((注))

だけ下になる。角変位をθとするとき位置エネルギーと運動エネルギーは、

$$\mathbf{U} := -\mathbf{m} \cdot \mathbf{g} \cdot \mathbf{l}_{\mathbf{G}} \cdot \cos(\mathbf{\theta}) \qquad \mathbf{K} := \frac{1}{2} \cdot \mathbf{m} \cdot \mathbf{l}_{\mathbf{G}}^{2} \cdot \mathbf{\theta'}^{2} + \frac{1}{2} \cdot \left[\mathbf{m} \cdot \mathbf{a}^{2} - \mathbf{m} \cdot \left(\mathbf{a} - \mathbf{l}_{\mathbf{G}} \right)^{2} \right] \cdot \mathbf{\theta'}^{2}$$

となるから、ラグランジュ方程式を求めれば次のようになる。

(平行軸の定理 $\mathbf{I} = \mathbf{I}_{\mathbf{G}} + \mathbf{m} \cdot \mathbf{R}^2$ より)

$$\begin{split} \mathbf{L} &:= \mathbf{K} - \mathbf{U} & \quad \partial L_{\pmb{\theta}} := \frac{\mathbf{d}}{\mathbf{d} \pmb{\theta}} \mathbf{L} & \quad \partial L_{\pmb{\theta}} \to \frac{-\pmb{\phi}}{\pi} \cdot \mathbf{M} \cdot \mathbf{g} \cdot \left(1 - \frac{\sin(\pmb{\phi})}{\pmb{\phi}}\right) \cdot \mathbf{a} \cdot \sin(\pmb{\theta}) \\ & \quad \partial L_{\pmb{\theta}'} := \frac{\mathbf{d}}{\mathbf{d} \pmb{\theta}'} \mathbf{L} & \quad \partial L_{\pmb{\theta}'} \cdot \operatorname{simplify} & \rightarrow -2 \cdot \mathbf{M} \cdot \mathbf{a}^2 \cdot \pmb{\theta}' \cdot \frac{\left(-\pmb{\phi} + \sin(\pmb{\phi})\right)}{\pi} \\ & \quad \frac{\pmb{\theta}' \cdot \partial L_{\pmb{\theta}}}{\partial L_{\pmb{\theta}'}} \cdot \operatorname{simplify} & \rightarrow \frac{-1}{2} \cdot \frac{\sin(\pmb{\theta})}{\mathbf{a}} \cdot \mathbf{g} \end{split}$$

整理すると.

$$\theta'' = \frac{-1}{2} \frac{\mathbf{g}}{\mathbf{a}} \cdot \sin(\theta)$$

すなわち, 長さ 1 = 2 · a の単振り子と等価であり, 微小振動におけるその周期は,

$$\mathbf{T}(\mathbf{a}) := 2\pi \sqrt{\frac{2\mathbf{a}}{\mathbf{g}}}$$

となり, φに依存しない。

2. 周期計算と実験

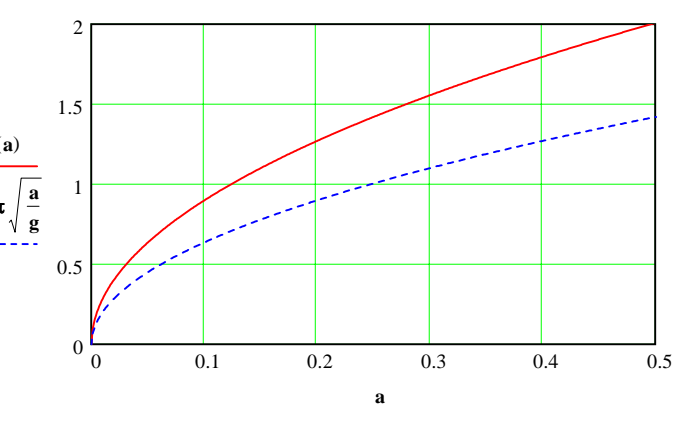
g := 9.8 $\mathbf{a} := 0, 0.001 \dots 0.5$

T(0.1) = 0.898

半径 a のリング振り子

長さ a の単振り子

リング振り子の周期



 $5 \text{mm} \phi$ のアルミ棒を鍋に合わせて半径10cmに曲げて、 $\phi = \pi \sim \frac{\pi}{3}$ のリング振り子を4通り作って実験した。は じめ、方程式のミスで周期が☆に依存する計算結果を得たが、実験はそれをみごとに否定し、ナイフの上で 振らしたところすべて同じ周期約 0.91 [sec.] を示した。YPCニュースの写真にあったリングは見るからに幅があ り、そのために周期にずれが生じたと思われる。

((注)) 切り欠いたリングの重心 -----

右図で、重心のx座標を x_G とすると、線密度が一様であれば、

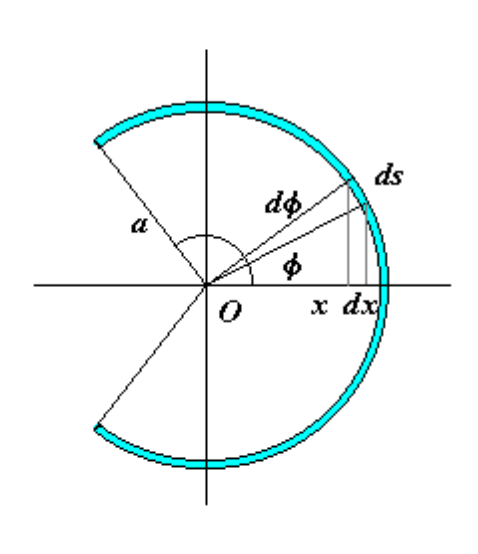
$$x_{G} = \frac{\int x ds}{\int 1 ds}$$

$$ds = a \cdot d\phi \qquad x = a \cdot \cos(\phi)$$

となるから、

$$x_{G}(\phi) = \frac{a^{2} \cdot \int_{-\phi}^{\phi} \cos(\phi) \ d\phi}{a \cdot \int_{-\phi}^{\phi} 1 \ d\phi} = \frac{\sin(\phi)}{\phi} a$$

座標を問題に合うように直せば、次のようになる。



$$\left\{ \begin{array}{c} \cos(\phi) \,\, \mathrm{d}\phi \to \sin(\phi) \end{array} \right.$$

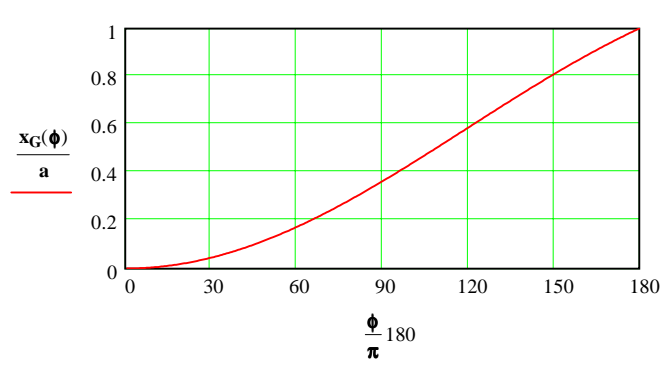
$$\mathbf{x}_{\mathbf{G}}(\phi) := \left(1 - \frac{\sin(\phi)}{\phi}\right)\mathbf{a}$$
 $\phi := 0.01, 0.02..\pi$

$$\mathbf{\phi} := 0.01$$
, 0.02 .. $\boldsymbol{\pi}$

なお、支点を中心とする慣性モーメントIを 直接求めてしまうのもいいかもしれない。 そのときは、運動エネルギーが、

$$\mathbf{K} = \frac{1}{2} \cdot \mathbf{I} \cdot \mathbf{\theta'}^2$$

となる。



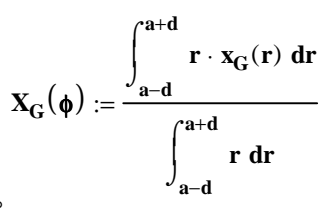
3. 幅のあるリング振り子の 依存性

ひとまずの目的は果たしたが、さらなる考察としてYPC ニュースにあった周期のずれを考えてみよう。

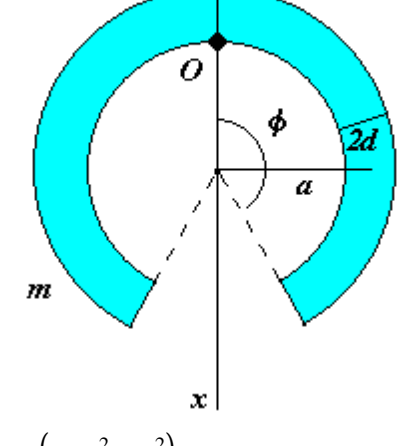
半径 r の切り欠きリングの重心は、中心から

$$x_G(r) := \frac{sin \left(\phi \right)}{\phi} r$$

だけずれる。したがって半径 a,幅 2d のリングの重心のずれは,



となる。



 $\mathbf{X}_{\mathbf{G}}(\mathbf{\phi}) \text{ factor } \rightarrow \frac{1}{3} \cdot \sin(\mathbf{\phi}) \cdot \frac{\left(3 \cdot \mathbf{a}^2 + \mathbf{d}^2\right)}{\left(\mathbf{\phi} \cdot \mathbf{a}\right)}$

座標原点を支点にずらして、幅が半径の1割の場合について計算すると、次のようになる。

$$\mathbf{a} := 0.1 \qquad \mathbf{d} := \frac{1}{20}\mathbf{a} \qquad \mathbf{\phi} := 0.01, 0.02..\pi \qquad \mathbf{L}_{\mathbf{G}}(\mathbf{\phi}) := (\mathbf{a} - \mathbf{d}) - \sin(\mathbf{\phi}) \cdot \frac{\left(\mathbf{a}^2 + \frac{\mathbf{d}^2}{3}\right)}{\left(\mathbf{a} \cdot \mathbf{\phi}\right)}$$

半径 r,幅 dr の切り欠きリングの質量は、

面密度を σ とすれば,

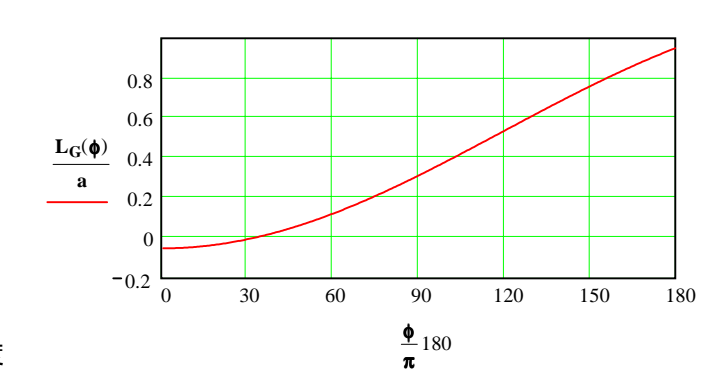
$$dm(r) := 2\pi \cdot r \cdot \frac{\phi}{\pi} \cdot dr \cdot \sigma$$

であるから、その中心周りの慣性モーメントは、

$$dI(r) := dm(r) \cdot r^2$$

 $\textbf{dI(r) simplify} \ \rightarrow 2 \cdot \textbf{r}^3 \cdot \textbf{b} \cdot \textbf{dr} \cdot \textbf{\sigma}$

したがって、リング全体の慣性モーメントは、綿密度



$$\sigma = \frac{\mathbf{m}}{\boldsymbol{\pi} \cdot \left[(\mathbf{a} + \mathbf{d})^2 - (\mathbf{a} - \mathbf{d})^2 \right] \cdot \frac{\boldsymbol{\phi}}{\boldsymbol{\pi}}} \qquad \mathbf{I} = 2 \cdot \boldsymbol{\sigma} \cdot \boldsymbol{\phi} \cdot \int_{\mathbf{a} - \mathbf{d}}^{\mathbf{a} + \mathbf{d}} \mathbf{r}^3 \, d\mathbf{r}$$

により.

$$\mathbf{I} := 2 \cdot \frac{\mathbf{m}}{\left(\mathbf{a} + \mathbf{d}\right)^2 - \left(\mathbf{a} - \mathbf{d}\right)^2} \cdot \int_{\mathbf{a} - \mathbf{d}}^{\mathbf{a} + \mathbf{d}} \mathbf{r}^3 d\mathbf{r}$$

となる。

$$\mathbf{I} = 2 \cdot \mathbf{\sigma} \cdot \mathbf{\phi} \cdot \int_{\mathbf{a} - \mathbf{d}}^{\mathbf{a} + \mathbf{d}} \mathbf{r}^{3} \, \mathbf{d}\mathbf{r}$$

I factor
$$\rightarrow \phi \cdot \mathbf{M} \cdot \frac{\left(\mathbf{a}^2 + \mathbf{d}^2\right)}{\pi}$$

 $\mathbf{I} := \boldsymbol{\phi} \cdot \mathbf{M} \cdot \frac{\left(\mathbf{a}^2 + \mathbf{d}^2\right)}{\mathbf{7}}$

平行軸の定理から、重心のまわりの慣性モーメントは

$$\mathbf{I}_{\mathbf{G}} := \mathbf{I} - \mathbf{m} \cdot \left[\sin(\phi) \cdot \frac{\left(\mathbf{a}^2 + \frac{\mathbf{d}^2}{3}\right)}{\left(\mathbf{a} \cdot \phi\right)} \right]^2$$

$$\mathbf{I}_{\mathbf{G}} \coloneqq \mathbf{I} - \mathbf{m} \cdot \left[\sin(\phi) \cdot \frac{\mathbf{G}(\mathbf{G})}{\mathbf{G}(\mathbf{G})} \right]$$
 あらためて、位置エネルギーおよび運動エネルギーを求めると、 $\mathbf{L}_{\mathbf{G}} \coloneqq (\mathbf{a} - \mathbf{d}) - \sin(\phi) \cdot \frac{\mathbf{G}(\mathbf{G}) \cdot \mathbf{G}(\mathbf{G})}{\mathbf{G}(\mathbf{G})}$

$$\mathbf{U} := -\mathbf{m} \cdot \mathbf{g} \cdot \mathbf{L}_{\mathbf{G}} \cdot \cos(\mathbf{\theta}) \qquad \mathbf{K} := \frac{1}{2} \cdot \mathbf{m} \cdot \mathbf{L}_{\mathbf{G}}^{2} \cdot \mathbf{\theta'}^{2} + \frac{1}{2} \cdot \mathbf{I}_{\mathbf{G}} \cdot \mathbf{\theta'}^{2}$$

となり、ラグランジュ方程式は次のようになる。

$$\begin{split} \mathbf{L} &:= \mathbf{K} - \mathbf{U} & \quad \partial L_{\theta} := \frac{\mathbf{d}}{\mathbf{d}\theta} \mathbf{L} & \quad \partial L_{\theta'} := \frac{\mathbf{d}}{\mathbf{d}\theta'} \mathbf{L} \\ & \frac{\theta' \cdot \partial L_{\theta}}{\partial L_{\theta'}} \text{ simplify } \rightarrow \\ & \frac{\mathbf{d} \cdot \mathbf{d} \cdot \mathbf{d}}{\mathbf{d}\theta'} \mathbf{d} \cdot \mathbf{d} \cdot$$

結局、幅のあるリング振り子の周期は、上のA,Bを用いて、 $\mathbf{T} = 2\pi \sqrt{\frac{\mathbf{A}}{\mathbf{B}} \cdot \frac{1}{\mathbf{g}}}$ となる。幅が半径の2割の場合について計算してみる。

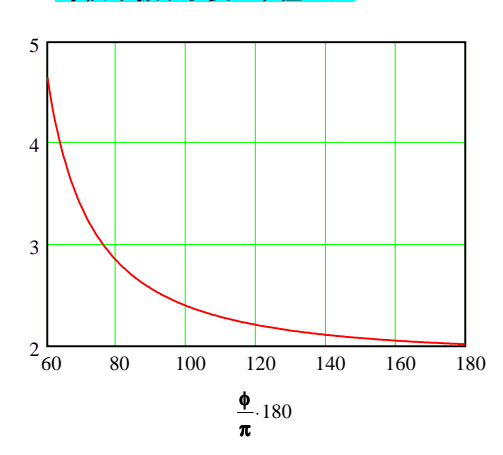
$$\mathbf{a} := 0.1$$
 $\mathbf{d} := \frac{1}{10} \cdot \mathbf{a}$ $\phi_0 := \frac{\pi}{3}$ $\phi := \phi_0, \phi_0 + 0.01 ..\pi$ $\mathbf{g} := 9.8$
$$\mathbf{l}(\phi) := 2 \cdot \frac{3 \cdot \mathbf{a} \cdot \left(\mathbf{a}^2 - \mathbf{a} \cdot \mathbf{d} + \mathbf{d}^2\right) \cdot \phi - \left(\mathbf{a} - \mathbf{d}\right) \cdot \left(3 \cdot \mathbf{a}^2 + \mathbf{d}^2\right) \cdot \sin(\phi)}{3 \cdot \mathbf{a} \cdot \left(\mathbf{a} - \mathbf{d}\right) \cdot \phi - \left(3 \cdot \mathbf{a}^2 + \mathbf{d}^2\right) \cdot \sin(\phi)}$$
 (等価単振り子の長さ)

 $\boldsymbol{l}(\boldsymbol{\phi})$

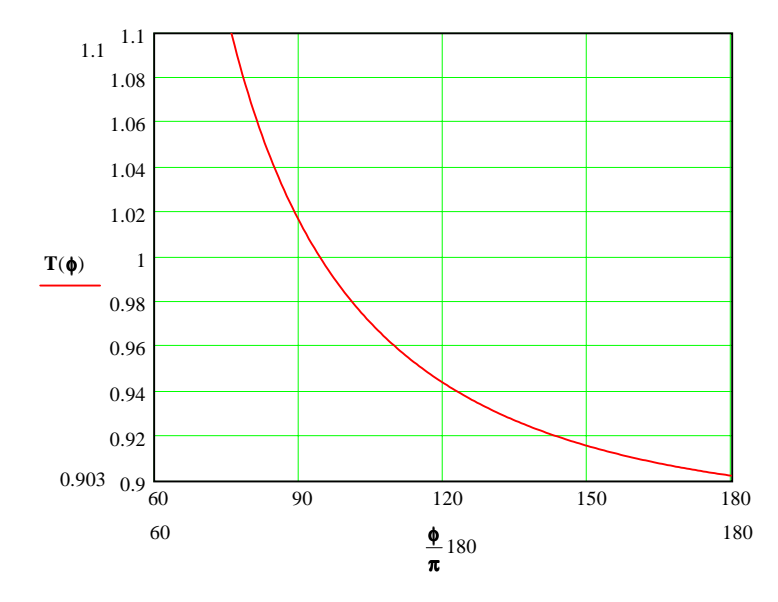
$$T(\phi) := 2\pi \sqrt{\frac{l(\phi)}{g}}$$

工作用紙でいくつか幅のあるリング振り子をつくり、 実験したところ、測定精度の範囲でほぼ満足できる 一致をみた。(×=実験値)

等価単振り子長と半径の比



幅のあるリング振り子の周期のφ依存性



$$\mathbf{T}\left(\frac{\pi}{2}\right) = 1.017$$

$$\frac{30}{29} = 1.034$$

$$\mathbf{T}\left(\frac{2\pi}{3}\right) = 0.944$$

$$\frac{30}{32} = 0.938$$

$$\mathbf{T}\left(\frac{5\pi}{6}\right) = 0.916$$

$$\frac{60}{66} = 0.909$$

結論として、幅の無視できないリング振り子では、切り欠きが大きいほど(φ が小さいほど)周期が長くなることが、 理論上も確認することができた。